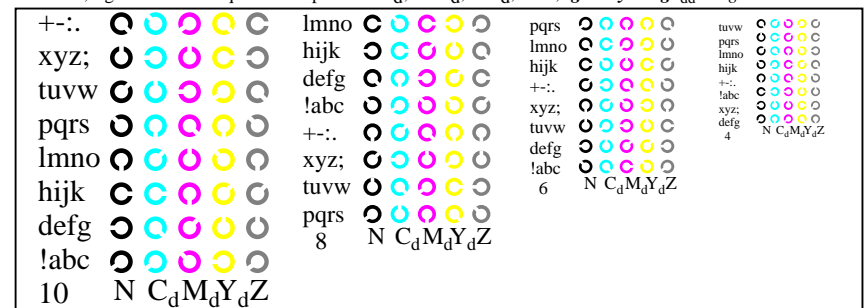
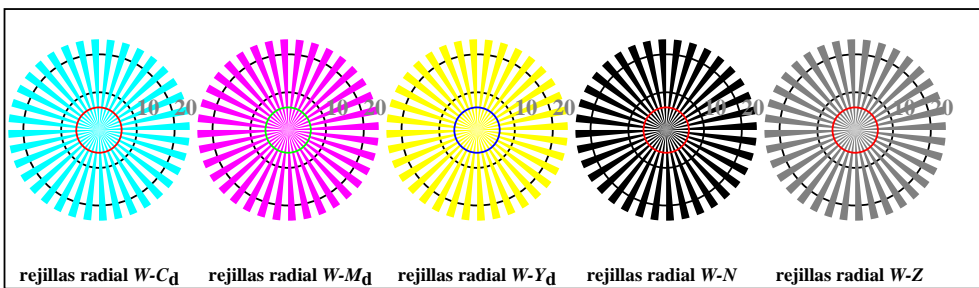


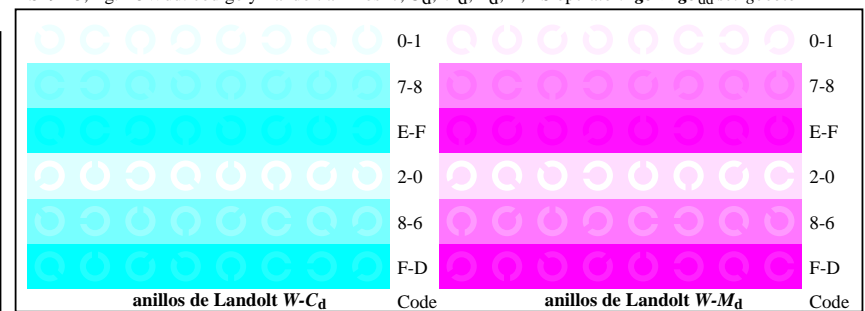
AS291-1, fig. B4Wdd: 16 equidistante pasos  $W-C_d$ ;  $W-M_d$ ;  $W-Y_d$ ;  $W-N$ ;  $rgb/cmy_0 \rightarrow rgb_{dd}$  setrgbcolor



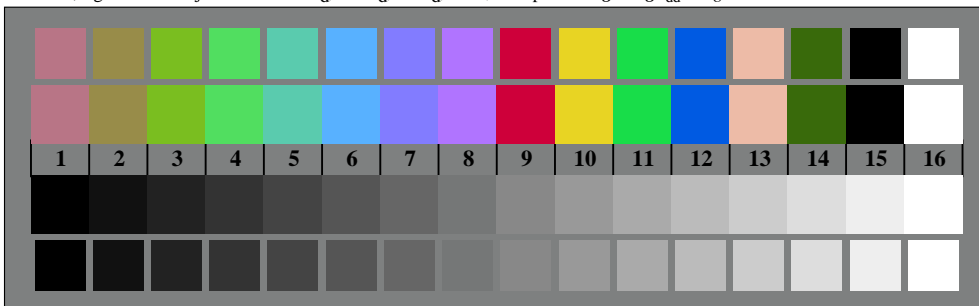
AS291-3, fig. B5Wdd: codigo y Landolt anillos  $N$ ;  $C_d$ ;  $M_d$ ;  $Y_d$ ;  $Z$ ; PS operator:  $rgb \rightarrow rgb_{dd}$  setrgbcolor



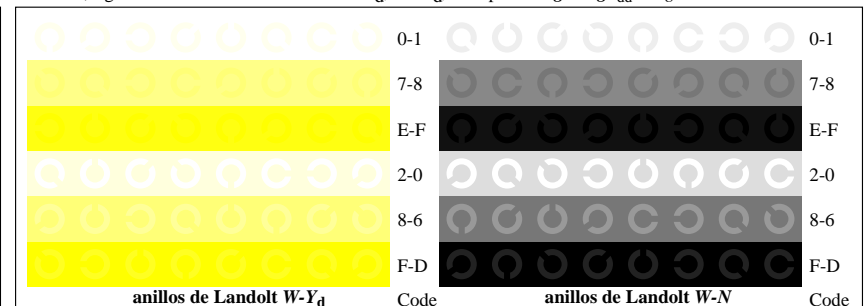
AS290-5, fig. B2Wdd: rejillas radial  $W-C_d$ ;  $W-M_d$ ;  $W-Y_d$ ;  $W-N$ ; PS operator:  $rgb \rightarrow rgb_{dd}$  setrgbcolor



AS291-5, fig. B6Wdd: anillos de Landolt  $W-C_d$ ;  $W-M_d$ ; PS operator:  $rgb \rightarrow rgb_{dd}$  setrgbcolor



AS290-7, fig. B3Wdd: CIE 14 colores del test y 2 + 16 pasos de gris (sf);  $rgb/cmy_0 \rightarrow rgb_{dd}$  setrgbcolor



AS291-7, fig. B7Wdd: anillos de Landolt  $W-Y_d$ ;  $W-N$ ; PS operator:  $rgb \rightarrow rgb_{dd}$  setrgbcolor